

بررسی فصل مشترک جوشکاری انفجاری اتصال سه لایه ورق های آلمینیم ۱۲۵۰ / فولاد دریایی

سید علی اصغر اکبری موسوی^{*}، محمد نوروزپور^۲، امین مکی^۳

۳- تهران- دانشگاه تهران- دانشکده مهندسی متالورژی و مواد

۲- تهران- ستاد نیروی دریایی آجا- فرماندهی فنی واحد طراحی

(تاریخ وصول: ۸۷/۵/۱۹ ، تاریخ پذیرش: ۸۷/۱۱/۴)

چکیده

جوش انفجاری، در اثر برخورد مورب و با سرعت بالای صفحه‌ی پزده به صفحه‌ی ساکن، بوجود می‌آید، که با تغییر شکل پلاستیک موضعی بسیار شدید صفحات در نقطه‌ی برخورد همراه است. در این روش به کمک نیروی موج انفجاری، اتصال بین دو قلز انجام می‌شود. این نیرو، باید با زاویه و اندازه‌ی مناسب، به سطح قطعه اعمال شود تا اتصال مناسب و کاملی به دست آید. بنابراین تعیین پارامترهای جوشکاری بهینه، حساسیت بیشتری نسبت به روش‌های دیگر دارد. از اثواب این متغیرها می‌توان، بار انفجاری و اندازه‌ی فاصله‌ی توقف بین صفحات را نام برد. در این پژوهش، تاثیر بار انفجاری و فاصله‌ی توقف بین آلمینیم ۱۲۵۰ / فولاد دریایی، بر خواص اتصال سه لایه ورق‌های آلمینیم ۱۲۵۰ / آلمینیم ۵۰۸۳ / فولاد دریایی برسی شده است. نمونه‌ها برای بررسی ریزساختار متالورژیکی اتصال، توسط میکروسکوپ های نوری و الکترونی (SEM) مورد ارزیابی قرار گرفتند. همچنین در این پژوهش، فواصل توقف بهینه، بین آلمینیم ۱۲۵۰ و فولاد دریایی، با توجه به آزمایش‌ها تعیین شدند. نتایج، حاکی از آن بود که با افزایش فاصله توقف و بار انفجاری، شاهد تبدیل فصل مشترک، از حالت صاف به موجی و درنهایت، ایجاد تکه‌های منابد بوده که با آنالیز EDS آنها، ترکیبات ترد بین فلزی، شناسایی شدند.

واژه‌های کلیدی: جوشکاری انفجاری، اتصال لایه‌ی کامپوزیتی، فولاد دریایی، ترکیبات بین فلزی، اتصال مواد غیر همجنس

آلیاژهای آلمینیم به جای فولاد، در نواحی روسازه کشتیها تا حدود زیادی مرتفع گردیده است. اتصال آلمینیم و فولاد، با روش‌های جوشکاری معمولی بدليل اختلاف درجه حرارت آنها، بسیار مشکل است. همچنین، در حین جوشکاری ذوبی، ترکیبات بین فلزی ترد، در منطقه‌ی اتصال، ایجاد می‌شود

۱. مقدمه

نتایج پیشرفت‌های اخیر در تکنولوژی کشتنی سازی، بیانگر این نکته است که با افزایش وزن در ناحیه‌ی فوکانی و سنگین شدن ماشین آلات، حرکت شناور را کند و تعادل شناور را کاهش می‌دهد. این محدودیت، با استفاده از

* E-mail: akbarimusavi@ut.ac.ir

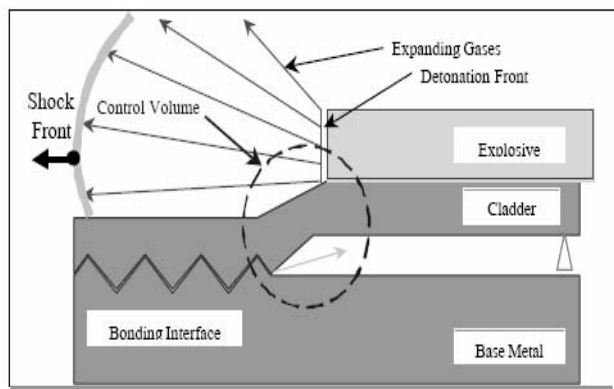
۱- دانشیار دانشگاه تهران

۲- کارشناس ارشد معماری

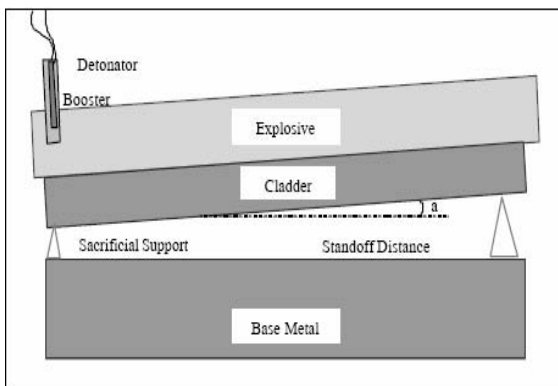
۳- دانشجوی کارشناسی مهندسی متالورژی و مواد

۲) چیدمان موازی [۱۱].

این چیدمانها در اسکال (۱) و (۲) نشان داده شده است. با توجه به چیدمانهای موجود و توصیف شده برای جوشکاری انفجاری، مکانیزمهای سینماتیکی مختلفی برای نحوهٔ برخورد قطعات به یکدیگر، ارائه شده است [۴، ۵، ۸-۱۱]. در جوشکاری‌های ذوبی، انرژی حرارتی، سبب ذوب شدن لایه‌های واسط بین فلزات می‌شود و حتی سبب تغییر ساختار فلزات می‌گردد، در حالی که در جوشکاری انفجاری، که نوعی جوشکاری فشاری می‌باشد، فقط ساختار ریز فلزات در ناحیهٔ فصل مشترک، دچار تغییرات متالورژیکی می‌گردد و این یک فرایند حالت جامد می‌باشد. فلزات در ناحیهٔ واسط بین خودشان، با تشکیل یک موج و گاهًا موج و گردابه به شدت فرو می‌روند. دانشمندان معتقدند که سطوح میانی بین دو فلز با تشکیل جت، تمیز و عاری از هر گونه آلودگی و اکسید می‌گردد [۱۲، ۹، ۱۱].



شکل ۱- چیدمان موازی در جوشکاری انفجاری حین انفجار [۵].



شکل ۲- چیدمان زاویه‌ای در جوشکاری انفجاری [۵].

که خواص مکانیکی اتصال را کاهش می‌دهد. استفاده از این آلیاژ کامپوزیتی در محیط شور دریابی، سبب خوردگی گالوانیکی می‌شود، چرا که این دو فلز در مجاورت محیط خورنده‌ای چون آب دریا، با میزان شوری بالا، تشکیل پیل دو فلزی را داده و با سرعت زیادی شروع به خورد شدن می‌کنند [۱۲]. یکی از روشهای سنتی مقابله با این عیب، استفاده از لاستیک یا واشرهای نئوبرن بین آلومینیم و فولاد می‌باشد. این نوع اتصال، توسط پرج یا پیچ های قفل‌شونده و قرار دادن واشر لاستیکی بین دو فلز، بر قرار می‌گردد. واشرهای لاستیکی یا نئوبرن که به عنوان عایق جدا کننده دو فلز هستند، با گذشت زمان و از دست دادن خاصیت خود و همچنین حرکات کشتی در امواج، پاره شده و تماس دو فلز به صورت مستقیم در محیط خورنده (آب دریا) برقرار می‌گردد که منجر به خوردگی گالوانیکی خواهد شد. برای مرتفع نمودن این عیوب، بهترین راه حل اتصال سه لایه کامپوزیت، روش جوشکاری انفجاری می‌باشد. در این تحقیق، تاثیر تغییر فواصل توقف و بار انفجاری، در جوشکاری انفجاری سه لایه‌ی ورقهای کامپوزیتی مورد بررسی قرار گرفته است. همچنین، از طریق موقعیت نقاط در پنجه جوشکاری می‌توان، نوع ساختار فصل مشترک اتصال (صف-موجی) را بر اساس زاویه دینامیکی برخورد-سرعت برخورد پیشگوئی نمود [۳-۶].

۱-۱- مکانیزم جوشکاری انفجاری

بنا به نظریه‌های مختلف، مکانیزم جوشکاری انفجاری مبتنی بر پدیده‌ی تشکیل جت می‌باشد [۱۱-۸]. در اثر برخورد صفحه پرنده به صفحه مادر با سرعت زیاد، فشار اعمالی در نقطه برخورد، به میزانی در حد گیگا پاسکال می‌رسد که سبب می‌شود تا فلزات، رفتاری سیال گونه بیابند و شبیه به سیالاتی با لزجت پایین عمل کنند [۱۲، ۱۱، ۹]. بروز تغییر شکل پلاستیک در فصل مشترک، باعث شکسته شدن اکسیدها و افزایش درگیری در سطح تماس می‌شود. جت تشکیل شده در فصل مشترک، باعث خروج اکسیدها و سایر آلودگی‌های موجود در سطوح فصل مشترک بین فلزات می‌گردد. با پاکسازی سطوح در محل برخورد، در صورت کافی بودن انرژی انفجاری برخوردي، دو سطح تحت فشار زیاد، در یکدیگر فرو رفته و اتصال به خوبی برقرار می‌گردد. در صورتی که در صفحه‌ی پرنده و مادر، در یک فاصله بین اتمی مناسبی قرار گیرند، انرژی پتانسیل حداقل و نیروهای جاذبه و دافعه به تعادل رسیده و یک پیوند متالورژیکی یا بین فلزی تشکیل می‌شود [۹].

چیدمانهای جوشکاری انفجاری عبارتند از:

(۱) چیدمان زاویه‌ای

۲. مواد و روش تحقیق

سطح بعد از عملیات سند بلاست و زنگ زدایی و بریده شدن، در قطعات با ابعاد قید شده، با عملیات و سنگ زنی صاف شده و پس از پرداخت سطوح با سمباده های شماره‌ی ۸۰۰، ۱۲۰۰ و در نهایت ۱۶۰۰، پرداخت کاری گردیده و با محلول Ca OH ۹۵٪ شستشو و تمیز کاری گردیدند.

۲-۱- مراحل فرآیند جوشکاری انفجاری

- مراحل انجام جوشکاری به ترتیب زیر می‌باشد:
- ۱- انتخاب فلزات متصل شونده، سند بلاست و زنگ زدایی و برش و پرداخت قطعات، جهت انجام آزمایشات صنعتی؛
 - ۲- تعیین سرعت انفجار برای انجام آزمایش بر اساس فرمولهای موجود و تعیین مخلوط ترکیب انفجاری و میزان دانه بندی مورد نیاز؛
 - ۳- ساخت مخلوط ترکیب انفجاری مناسب و انجام تست سرعت سنجی انفجار.
 - ۴- انجام تست جوشکاری.

۲-۲- مراحل تهیه‌ی مواد منفجره

- مراحل تهیه‌ی مواد منفجره عبارتند از:
- ۱- مخلوط کردن مواد با هاونی از جنس یاقوت؛
 - ۲- مخلوط کردن بسیار ریز مواد با مخلوط کن مخصوص؛
 - ۳- دانه بندی مورد نظر مواد با سرند مخصوص؛
 - ۴- آنالیز مواد با دستگاه آنالیزر الکترونیکی.

عموماً کشتی‌ها دارای عرضه‌هایی از جنس فولاد دریایی هستند و در ناحیه‌ی روسازه یا سوپر استراکچر، از آلومینیم‌های دریایی سری ۵۰۰۰ استفاده می‌شود. در اتصال نوارهای Tri-clad، از آلومینیم دریایی سری ۵۰۰۰ به عنوان فلز پرنده و آلومینیم سری ۱۰۰۰ به عنوان فلز واسط و فولاد دریایی با استحکام بالا (Hts یا High strength steel)، به روش جوشکاری انفجاری، استفاده می‌شوند. آلومینیم سری ۱۰۰۰، به عنوان لایه‌ی میانی، جهت از بین بردن فازهای بین فلزی، به کار می‌رود. ضخامت فلزات استفاده شده و جنس آنها در این مطالعه‌ی تجربی، بر اساس جنس و ضخامت ورقهای کامپوزیتی استفاده شده درکشتی انتخاب شده است. برای حصول اطمینان از اینکه فلزات انتخاب شده دقیقاً همان فلزات مورد نظر باشند، نمونه‌هایی از آنها توسط دستگاه گیوتین بریده شده و آنالیز شدند. نتایج در جدول شماره‌ی (۱) آمده است. جدول شماره‌ی (۲)، مقادیر فواصل توقف و مقدار ماده منفجره مورد استفاده در مراحل مختلف جوشکاری انفجاری در فاز عملی را نمایش می‌دهد. در این جدول، به جای استفاده از بار انفجاری از ضخامت مواد منفجره استفاده شده است. فلزات مورد نظر، ابتدا سند بلاست بوده و زنگ زدایی شده و به صورت قطعات مربع شکل به ابعاد زیر برش داده شدند.

- ۱- ابعاد فلز مادر با پایه، از جنس فولاد دریایی (۳۰۰ × ۳۰۰ × ۶ mm)؛
- ۲- ابعاد فلز واسط، از جنس آلومینیم ۱۲۵۰ (۳۰۵ × ۳۰۵ × ۲/۵ mm)؛
- ۳- ابعاد لایه سوم، از جنس آلومینیم ۵۰۸۳ (۳۱۰ × ۳۱۰ × ۴/۵ mm).

جدول ۱- آنالیز شیمیایی مواد مورد استفاده.

Al	Ti	Zn	V	Ni	Cr	Al	Mg	Fe	C	Si
۵۰۸۳	-	-	-	-	-	۰/۱۹۸۸	۰/۰۰۲۷	۰/۳۸۰	۰/۴۰۶۶	۰/۷۴۷۶
۱۲۵۰	-	-	-	-	-	۰/۰۵	۰/۰۵	۰/۰۴	۰/۰۴	۰/۴
فولاد دریایی	-	-	-	-	-	۰/۰۰۴	۰/۰۰۰۷	۰/۱۱۲۷	۰/۱۵۰۱	-

جدول ۲- آزمایشهای جوشکاری انفجاری.

شماره‌ی نمونه	فاصله توقف Al-۵۰۸۳ و Al-۱۲۵۰ (mm)	فاصله توقف Al-۱۲۵۰ و فولاد دریایی (mm)	ضخامت ماده‌ی منفجره (mm)	ضخامت مواد پایه (mm)
AAS-۱۹	۴	۴	۱۵	۴
AAS-۲۰	۴	۴	۲۵	۲
AAS-۲۲	۴	۴	۲۵	۴
AAS-۲۴	۴	۴	۳۰	۴

اثرات لبه ها در حین عملیات انفجار جلوگیری به عمل آید، به همین دلیل،

ابعاد آنها از پائین به بالا افزایش یافته است (یعنی ورق مادر یا زیرین با ابعاد $300 \times 300 \times 6$ mm) و ورق فوقانی یا پرنده با ابعاد ($30.5 \times 30.5 \times 6$ mm) و ورقهای ابعاد لایه‌ی سوم، از جنس آلمینیم ۵۰/۸۳ ($4/5$ mm) شکل (۳)، تصویری از انجام عملیات و ترتیب قرارگیری فلزات و مواد منفجره و چاشنی بروی آنها را نمایش می‌دهد.

۳-۲- سنجش سرعت انفجار

سرعت مورد نظر برابر 2480 m/s می‌باشد که توسط دستگاه مجهر به فیبر نوری و ثبات الکترونیکی سنجیده شده است. برای بدست آوردن سرعت فوق الذکر، هشت مرحله سرعت سنجی انفجاری طولی با دستگاه اندازه گیرنده‌ی سرعت ماده‌ی منفجره (VOD meter) به انجام رسید. خصوصیات ماده منفجره‌ی به کار رفته در این تحقیق که مخلوط آنفو-تی ان تی، به صورت پودری بوده، در جدول (۳) بیان گردیده است.

۳. رسم پنجره‌ی جوشکاری

پنجره‌ی جوشکاری، تعیین کننده‌ی محدوده‌ای برای اجرای فرایند جوشکاری انفجاری است که با انتخاب متغیرهای فرایند، بر طبق پنجره‌ی جوشکاری، اتصالی مناسب و موفقیت آمیز به دست می‌آید. برای رسم پنجره‌ی جوشکاری، باید مرزهای پنجره مشخص شوند، که این مرزها از روی روابط موجود، قابل دستیابی است. در این تحقیق، پنجره‌ی جوشکاری، بر اساس β/V_w رسم شده است.

۴-۲- طراحی جوشکاری انفجاری افزودن مواد منفجره و چاشنی

در این پژوهش، از چیدمان موازی برای اتصالات سه لایه استفاده شده است. برای ایجاد فاصله توقف بین لایه‌ها، از واشرهای بسیار نازک مسی که به اندازه‌ی فاصله توقف‌ها تنظیم شده به گونه‌ای استفاده شده است که ضربه‌ی جت سیال، آنرا به سمت بیرون پرتاب نماید. شکل (۳) ترتیب چیدمان و افزودن مواد منفجره به همراه چاشنی گذاری یا مسلح نمودن قطعه کار و تنظیم فواصل توقف را نشان می‌دهد. فلزات بگونه‌ای چیده شده اند که از

جدول ۳- مشخصات ماده منفجره استفاده شده در این تحقیق.

ثابت ماده منفجره	حجم مخصوص kg/m^3	انرژی انفجاری (گرمی) kJ/kg	سرعت انفجار m/s	چگالی (kg/m^3)	ماده منفجره
۱/۳۶۷	۷۸۰	۳۶۰۰	۲۴۸۰	۹۰۰	پودر تی ان تی + آنفو



شکل ۳- مراحل چیدمان جوشکاری انفجاری: (الف) تنظیم ورق‌ها و فاصله‌ی توقف، (ب) چاشنی گذاری، (ج) پرکردن مواد منفجره، (د) هم سطح کردن مواد منفجره با ضخامت مورد نیاز به کمک محفظه‌ی چوبی نگهدارنده ماده منفجره، (ه) خارج کردن نمونه از زیر خاک پس از انفجار، (ی) محصول نهایی

(۵) و آلمینیم ۱۲۵۰ /۵۰۸۳ آلمینیم (رابطه‌ی (۶)), با جایگزین کردن

پارامترهای مربوطه در رابطه (۴), ب صورت زیر بدست آمده است:

$$\sin \frac{\beta}{2} = \frac{k_3}{t_1^{0.25} V_w^{1.25}} \quad (4)$$

(۵)

$$\left. \begin{aligned} \beta_{\max, \text{Sea Steel}} &= 2 \sin^{-1} \left[\frac{2507}{(4.5 \times 10^{-3})^{0.25} \times V_w^{1.25}} \right] \\ \beta_{\max, Al1250} &= 2 \sin^{-1} \left[\frac{2500}{(2.5 \times 10^{-3})^{0.25} \times V_w^{1.25}} \right] \end{aligned} \right\} \quad (6)$$

(۶)

$$\left. \begin{aligned} \beta_{\max, Al5053} &= 2 \sin^{-1} \left[\frac{2580}{(6 \times 10^{-3})^{0.25} \times V_w^{1.25}} \right] \\ \beta_{\max, Al1250} &= 2 \sin^{-1} \left[\frac{2500}{(2.5 \times 10^{-3})^{0.25} \times V_w^{1.25}} \right] \end{aligned} \right\}$$

بر اساس پیشنهاد Crossland و Bahrani [۹و۱۱] حداکثر زاویه‌ی برخورد برای ایجاد اتصال، برابر ۳۱ درجه است که در این تحقیق، از این پیشنهاد نیز برای رسم پنجره‌ی جوشکاری استفاده شده است.

۳-۳-۳ تعیین مرز سمت راست پنجره‌ی جوشکاری

مرز سمت راست، حد فاصل تشکیل و عدم تشکیل جت می‌باشد. عدم تشکیل جت زمانی حاصل می‌شود که سرعت جوشکاری از سرعت صوت در مواد جوش شونده، بیشتر شود. بدین ترتیب سرعت صوت در صفحه‌ی پرنده در جوشکاری دوجزی صفحه‌ها به عنوان مرز سمت راست پنجره جوشکاری در نظر گرفته شده است. مقدار سرعت صوت در آلیاژهای آلمینیم ۵۰۸۳، آلمینیم ۱۲۵۰ و فولاد دریایی به ترتیب برابر 50.14 m/s , 50.00 m/s و 51.60 m/s است. بنابراین مرز سمت راست برای هر دو حالت جوشکاری آلمینیم ۱۲۵۰ / فولاد دریایی و آلمینیم ۵۰۸۳ / آلمینیم ۱۲۵۰ برابر 50.00 m/s , در نظر گرفته می‌شود.

۴-۳-۳ تعیین مرز سمت چپ پنجره‌ی جوشکاری

برای تعیین مرز سمت چپ پنجره‌ی جوشکاری از رابطه‌ی ارائه شده توسط Simonov [۹و۱۱]، (رابطه‌ی (۱۰)) استفاده شده است. مقدار حداقل سرعت

۱-۳ تعیین مرز پایینی پنجره‌ی جوشکاری

حذف آلودگیهای سطحی، رطوبت جذب شده و اکسیدهای فلزی، از طریق جت ایجاد شده در فصل مشترک اتصال صورت می‌گیرد. لذا تشکیل جت، یکی از پارامترهای اساسی در جوشکاری انفجری می‌باشد. از طرف دیگر، ضخامت جت تشکیل شده ارتباط مستقیمی با زاویه‌ی دینامیکی دارد، بدین ترتیب که با افزایش زاویه‌ی تورب، ضخامت جت افزایش می‌یابد. بنابراین یک مقدار حداقل برای زاویه‌ی دینامیکی وجود دارد تا تشکیل جت را تضمین کند. طبق رابطه‌ی (۱)، زاویه‌ی دینامیکی حداقل، توسط Deribas و همکارانش ارائه شده است [۱۱و۹]. در رابطه (۱)، H_p مقدار سختی صفحه‌ی پرنده بر حسب MPa، و ρ ، دانسیته صفحه‌ی پرنده بر حسب kg/m^3 , V_w سرعت جوشکاری می‌باشد. با جایگزین کردن پارامترهای مورد نیاز در رابطه‌ی (۴)، برای جوشکاری دوجزی آلمینیم ۵۰۸۳ / آلمینیم ۱۲۵۰ (رابطه‌ی (۲)) و آلمینیم ۱۲۵۰ / فولاد دریایی (رابطه‌ی (۳)), حاصل می‌شود که تعیین کننده حد پایینی پنجره‌ی جوشکاری می‌باشد:

$$\beta = k_1 \sqrt{\frac{H_p}{\rho V_w^2}} \quad (1)$$

(۲)

$$\beta_{\min} = \frac{180}{\pi} (0.6 - 1.2) \sqrt{\frac{1020 \times 10^6}{2700 \times V_w^2}} = \frac{(21153 - 42306)}{V_w} \quad (3)$$

$$\beta_{\min} = \frac{180}{\pi} (0.6 - 1.2) \sqrt{\frac{1080 \times 10^6}{2640 \times V_w^2}} = \frac{(22010 - 44020)}{V_w} \quad (4)$$

قابل ذکر است که با توجه به دامنه‌ی تغییرات k که در محدوده $0.6 - 1/2$ می‌باشد، مرز پایینی به صورت یک منطقه ظاهر می‌شود.

۲-۳ تعیین مرز بالایی پنجره‌ی جوشکاری

برای به دست آوردن مرز بالایی پنجره‌ی جوشکاری، از رابطه‌ی Deribas و همکارانش [۹و۱۱] استفاده شده است (رابطه‌ی (۴)), استفاده گردید. در رابطه‌ی (۴)، k ، ضخامت صفحه‌ی مورد بررسی و پارامتر k برابر نصف سرعت صوت در ماده‌ی مورد بررسی می‌باشد. روابط حاصل شده برای مرز بالایی پنجره در جوشکاری دوجزی آلمینیم ۱۲۵۰ / فولاد دریایی (رابطه‌ی

Archive of SID

آلومینیم ۵۰۸۳/آلومینیم ۱۲۵۰ و آلومینیم ۱۲۵۰/فولاد دریایی، به ترتیب برابر 2470 m/s و 2887 m/s می باشد. رابطه‌ی دیگری که از آن برای تعیین فصل مشترک صاف به موجی استفاده شده است، رابطه‌ی Al-Hassani [۱۴] است. برای به دست آوردن رابطه‌ای بر اساس V_w و β ، رابطه‌ی زیر در فرمول Al-Hassani (۱۰)، جایگزین شده است: در رابطه فوق، مقدار D، متغیر ثابت، در دامنه تغییرات بین $1/5$ و $1/7$ ، پیشنهاد شده است. σ_y ، مقدار تنش تسلیم صفحه پرنده و ρ ، دانسیته‌ی صفحه‌ی پرنده و V_p ، بترتیب، سرعت برخورد و سرعت جوشکاری می باشند.

$$\tan \beta = \frac{V_p}{V_w} \quad (9)$$

$$\tan \beta = \sqrt{\frac{3D\sigma_y}{\rho V_w^2}} \quad (10)$$

با جانشینی کردن داده های مربوط به جوشکاری آلومینیم ۵۰۸۳/آلومینیم ۱۲۵۰ و آلومینیم ۱۲۵۰/فولاد دریایی، ناحیه‌ی انتقال فصل مشترک صاف به موجی در پنجره‌ی جوشکاری نشان داده شده است.

پنجره های جوشکاری بدست آمده برای جوشکاری آلومینیم ۱۲۵۰/فولاد دریایی و آلومینیم ۵۰۸۳/آلومینیم ۱۲۵۰ به ترتیب در شکلهاي ۴ و ۵ نشان داده شده اند که نتایج حاصل از شبیه سازی جوشکاری انفجاری به صورت خط توپر و نتایج شبیه سازی فرایند، به صورت نقاط پراکنده در پنجره ها نشان داده شده اند. بدین ترتیب از روی پنجره های جوشکاری و نتایج بدست آمده، می توان مقبول بودن کیفیت جوشهای شبیه سازی شده را پیش بینی نمود که مشاهده می شود که تمام آزمایشها ای انجام شده برای شبیه سازی جوشکاری انفجاری در پنجره‌ی جوشکاری، واقع شده‌اند. از نتایج شبیه سازی، پیش بینی می شود که در سرعتهای انفجار زیر 450 m/s و زوایای برخورد 5° درجه، اتصالی ایجاد نمی شود. حتی با زاویه‌ی برخورد 10° درجه و سرعتهای برخورد 2000 m/s ، موجب ایجاد اتصال نخواهد شد.

همچنین با در نظر گرفتن منطقه‌ی مرزی بین فصل مشترک صاف و موجی، می توان پیش بینی نمود که کدامیک از جوشهای شبیه سازی شده، دارای فصل مشترک صاف، کدامیک دارای فصل مشترک موجی و کدامیک در منطقه‌ی انتقال از فصل مشترک صاف به موجی است.

بدست آمده برای آلیاژهای ۴۳۰ فولاد دریایی، آلومینیم ۵۰۸۳، آلومینیم ۱۲۵۰ به ترتیب برابر 1289 m/s ، 1266 m/s و 1267 m/s است. بنابراین مرز سمت چپ برای جوشکاری آلومینیم ۵۰۸۳/آلومینیم ۱۲۵۰ و آلومینیم ۱۲۵۰/فولاد دریایی، به ترتیب برابر 1289 m/s و 1266 m/s می باشد.

$$V_w = k_4 \left(\frac{2H_p}{\rho} \right)^{\frac{1}{2}} \quad (7)$$

در این رابطه، متغیر k_4 ، برابر $1/8$ ، نظر گرفته شده است.

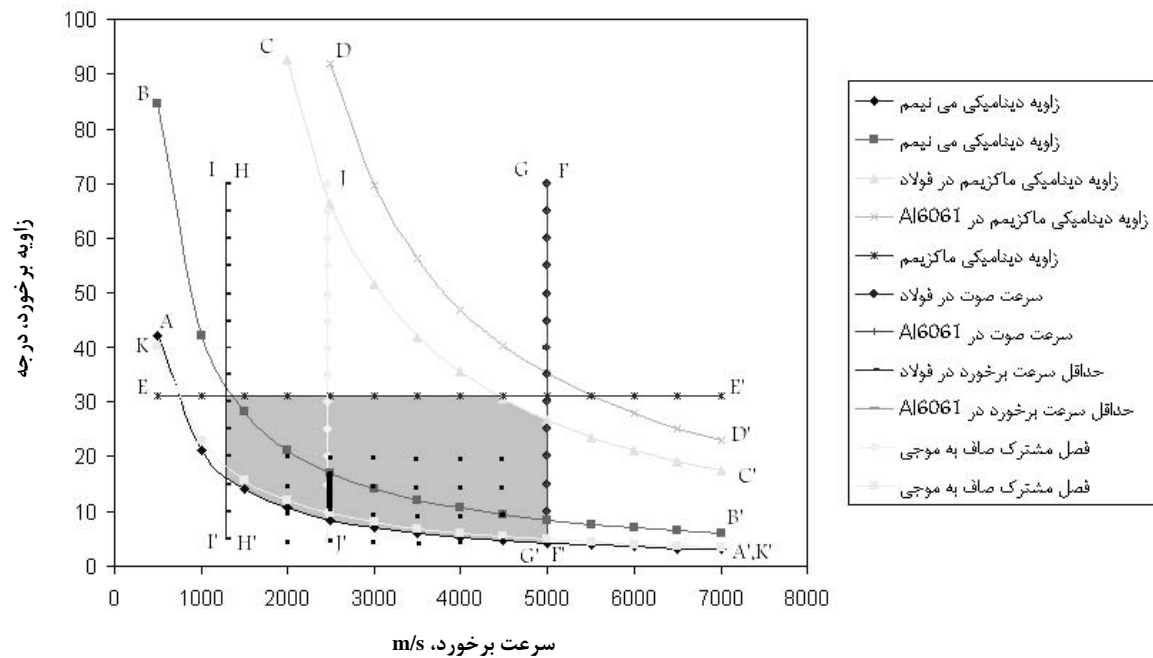
۳-۵- مرز انتقال فصل مشترک صاف به موجی

انتقال از فصل مشترک صاف به موجی نیز از مناطقی است که مورد بررسی قرار گرفته است و مرز این منطقه در پنجره‌ی جوشکاری، لحاظ می شود. با توجه به اینکه فلزات در نقطه‌ی برخورد، به علت فشار دینامیکی بالا به صورت سیالات رفتار می کنند و الگوی فصل مشترک جوش در پشت نقطه‌ی برخورد، مانند رفتار جریان سیال در پشت یک مانع می باشد، پیشنهاد Cowan و همکارانش [۹۱]، می تواند برای پیش بینی انتقال فصل مشترک صاف به فصل مشترک موجی به کار رود. چنانچه عدد $10/6$ عنوان عدد رینولدز در فلزات استفاده شود و خواص مواد جوش شونده در رابطه‌ی (۸) جایگزین شود، سرعت انتقال از فصل مشترک صاف به موجی حاصل می شود که در برخی پنجره های جوشکاری پیشنهادی، به عنوان مرز سمت چپ پنجره برگزیده شده است.

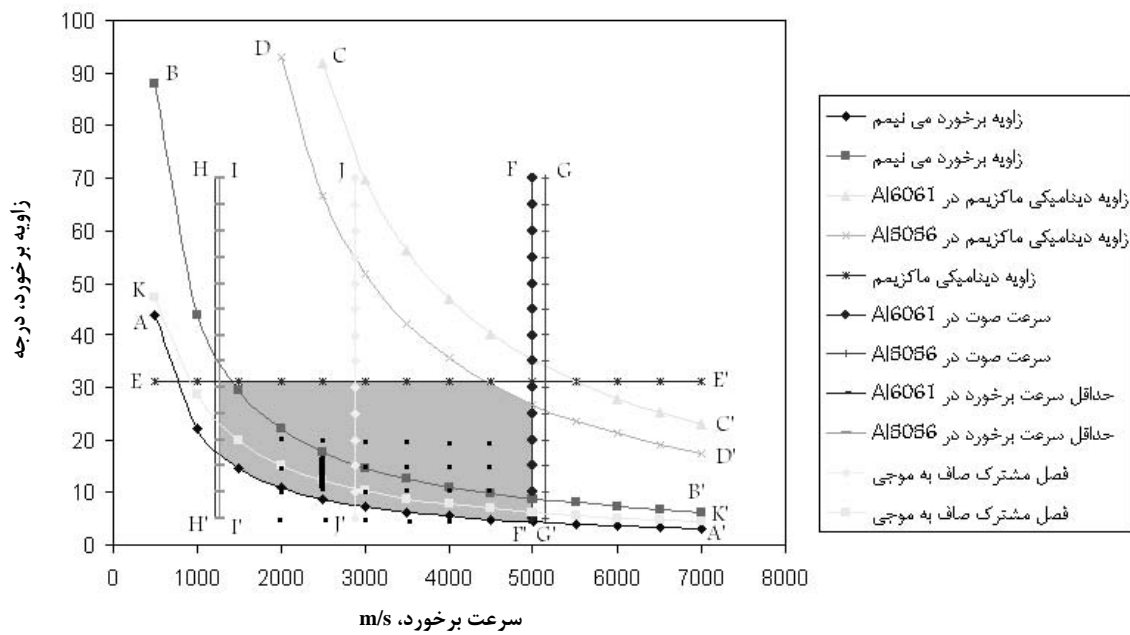
$$R_t = K_{E-P} = \frac{(\rho_p + \rho_b)V_t^2}{2(H_p + H_b)} \quad (8)$$

که در آن ρ_p ، ρ_b : دانسیته‌ی صفحات پرنده و مادر و H_p و H_b ، سختی صفحات پرنده و مادر، بر حسب ویکرز، می باشند.

نظر به اینکه جوشهای با فصل مشترک صاف نیز می توانند از کیفیت مناسب برخوردار باشند، رابطه‌ی Cowan و همکارانش، (رابطه‌ی (۹))، تعبیر درستی برای مرز سمت چپ پنجره‌ی جوشکاری ارائه نمی دهد. ضمناً باید در نظر داشت که عدد پیشنهادی $10/6$ تنها در مورد زوایای برخورد 12° به دست آمده است و بدین ترتیب الگوی صحیحی برای پیش بینی انتقال فصل مشترک صاف به موجی نیست. با این حال، سرعت بحرانی انتقال فصل مشترک صاف به موجی طبق رابطه‌ی Cowan برای جوشکاری دوجزی



شکل ۴- پنجره‌ی جوشکاری به دست آمده برای جوشکاری آلومینیم ۱۲۵۰/ فولاد دریابی و مقایسه با نتایج شبیه سازی.



شکل ۵- پنجره‌ی جوشکاری به دست آمده برای جوشکاری آلومینیم ۱۲۵۰/ آلومینیم ۵۰۸۳ و مقایسه با نتایج شبیه سازی.

افزار در دریافت برنامه فرعی به زبان برنامه نویسی فرترن، می‌توان در نرم افزار کد گذاری نمود. بنابر این به منظور اعمال بارگذاری انفجاری برای ماده‌ی منفجره با سرعت انفجار پائین، از معادله‌ی (۱۳) استفاده گردید. فشار حاصل که از رابطه‌ی (۱۳)، معادل فشار حاصل از معادله‌ی ویلیا مزبرگ قرار گرفته و بدین ترتیب مقدار ثابت ماده‌ی منفجره بدست می‌آید.

پس از آن روابط (۱۳) و (۱۴)، به صورت معادله‌ی فشار وابسته به زمان و مکان از طریق برنامه‌ی فرترن در برنامه‌ی Vdload با اعمال بار بر روی سطح ورق پرندۀ، اعمال می‌گردد. ماده منفجره‌ی به کار رفته در این تحقیق، آنفو تی ان تی دار به صورت پودری است که خصوصیات آن در جدول (۳)، بیان گردیده است [۱۶].

$$P = P_0 \exp\left(\frac{-t}{\theta}\right) \quad (13)$$

$$P_0 = \frac{\rho_e V_d^2}{1 + k_e} \quad (14)$$

در روابط (۱۳) و (۱۴)، پارامترهای θ ، ρ_e ، V_d ، k_e ، t به ترتیب عبارتند از: ثابت زمانی، چگالی ماده‌ی منفجره، ثابت ماده‌ی منفجره، زمان انجام انفجار، نیرو یا فشار حاصل از انفجار و V_d سرعت انفجار ماده‌ی منفجره می‌باشد.

۴. نتایج آزمایش‌های متالوگرافی، سختی سنجی و برش

آزمایش برش بر اساس استاندارد ASTM-A264 انجام گردیده است. نتایج آزمون برش و مقایسه با استاندارد در جداول (۴) و (۵)، نتایج سختی سنجی، در شکل (۶) و نتایج متالوگرافی کلیه‌ی نمونه‌های آزمایش جوشکاری انفجاری سه لایه آلمینیم ۵۰۸۳- آلمینیم ۱۲۵۰ با فولاد دریابی و آلمینیم ۵۰۸۳ در دو جهت طولی و عرضی، در شکل‌های ۷ و ۸ نشان داده شده است.

۳-۶-۳- مدل نمودن مواد مورد استفاده در جوشکاری و شرایط مرزی

معادله ساختاری استفاده شده معادله جانسون کوک رابطه (۱۱) می‌باشد [۱۵] و پارامترهای مربوط به این معادله در جدول (۴) آمده است. مدل پلاستیسیته جانسون-کوک برای مدل کردن تغییر شکل با نرخ کرنش بالای فلزات، به کار می‌رود. این مدل، نوع ویژه‌ای از پلاستیسیته فون مایسز می‌باشد که شامل شکل‌های تحلیلی قانون سخت شدن و واپستگی به نرخ می‌باشد. این مدل عموماً در تحلیل دینامیکی آدیاتیک گذرا استفاده می‌شود. در این رابطه، تنش تسلیم، تابعی از کرنش پلاستیک معادل، نرخ کرنش و دما می‌باشد. در رابطه زیر T درجه حرارت مطلق می‌باشد.

$$\sigma = (A + B\varepsilon^n)(1 + C \ln \dot{\varepsilon}_p)(1 - T^{*m}) \quad (11)$$

$$T^* = \frac{T - T_{room}}{T_{melt} - T_{room}} \quad (12)$$

در رابطه‌ی بالا، ε_p میزان نرخ کرنش پلاستیک برای $\dot{\varepsilon}_0 = 1 s^{-1}$ و ε^* کرنش پلاستیک می‌باشد.

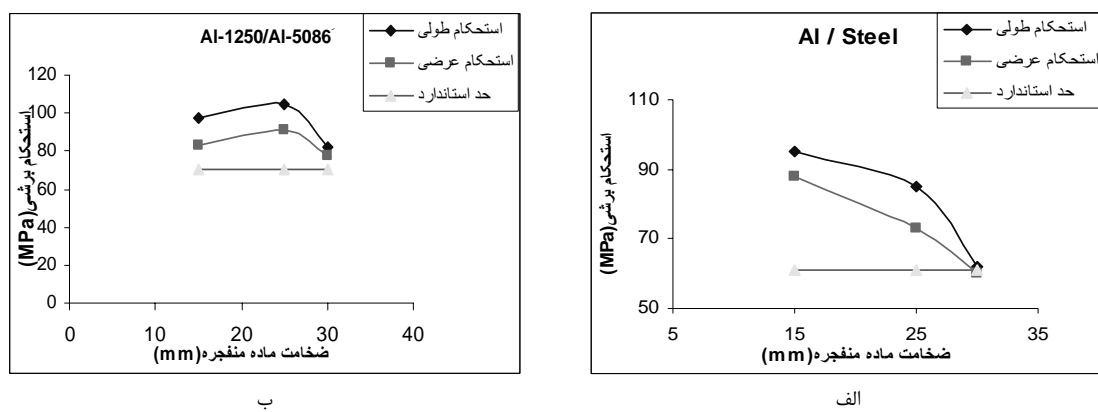
۷-۳- مدل کردن بارگذاری انفجاری

معادله حالت JWL برای بررسی رفتار ماده‌ی منفجره در نرم افزار آباکوس موجود می‌باشد. لیکن این معادله برای مواد منفجره‌ی با سرعت انفجار زیاد کاربرد دارد، حال آنکه در جوشکاری انفجاری، عملاً از مواد منفجره‌ی با سرعت پائین استفاده می‌شود [۱۳ و ۱۴]. لذا این معادله نمی‌تواند در شبیه سازی جوشکاری انفجاری استفاده شود. معادله‌ای که برای سرعت‌های پائین و بالا کاربرد دارد، معادله‌ی حالت ویلیامزبرگ [۱۳ و ۱۴] است. با توجه به اینکه این معادله، در نرم افزار آباکوس موجود نیست، با استفاده از قابلیت نرم

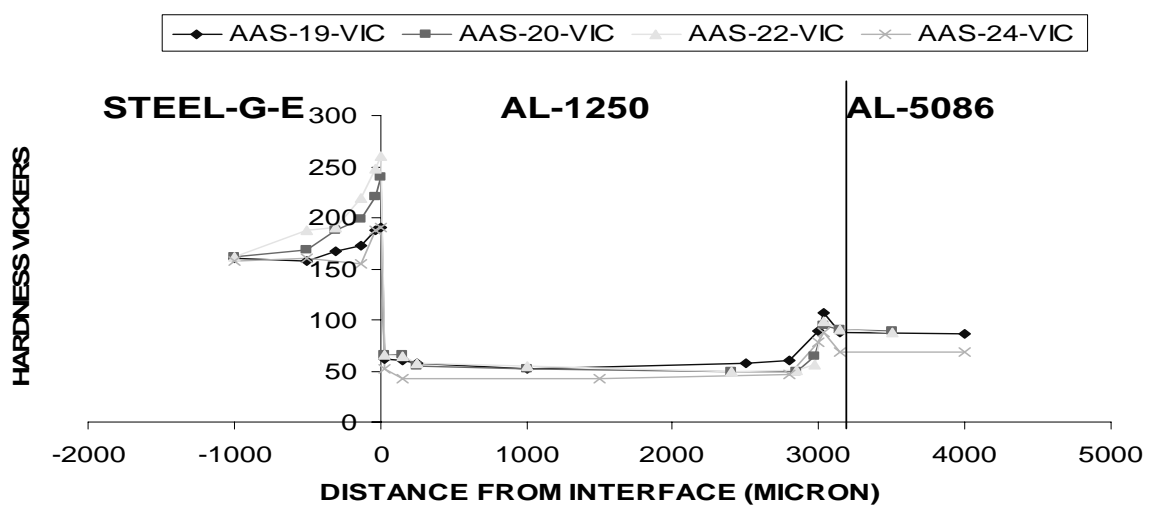
جدول ۴- پارامترهای مربوط به مواد مورد نیاز در معادله جانسون-کوک رابطه‌ی (۱۱) [۱۷].

m	n	C	B (MPa)	A (MPa)	نام آلیاژ
۰/۵	۰/۳	۰/۰۲	۳۵۰	۳۱۰	فولاد دریابی
۱	۰/۳	۰/۰۲	۴۸۶	۵۵۰	آلومینیم ۵۰۸۳
۱	۰/۳۴	۰/۰۱۵	۳	۱۸۰	آلومینیم ۱۲۵۰

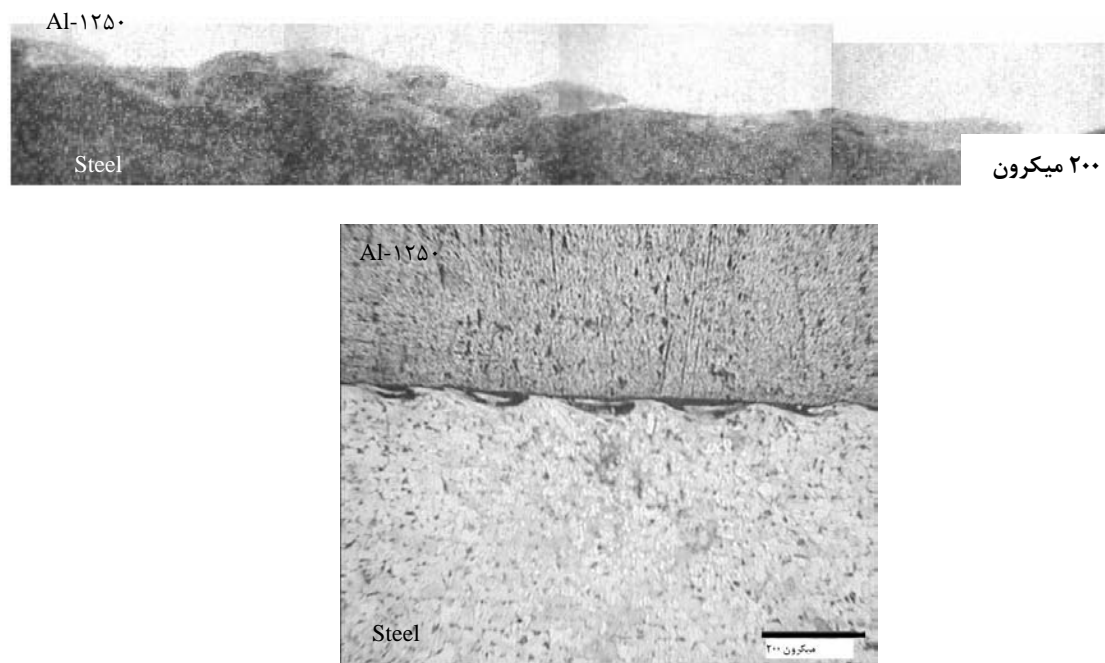
میزان ممان و جابجایی در سه جهت برای سطوح زیرین ورق مادر، صفر در نظر گرفته شود: $U_x = U_y = U_z = M_{xy} = M_{yz} = M_{xz} = 0$.



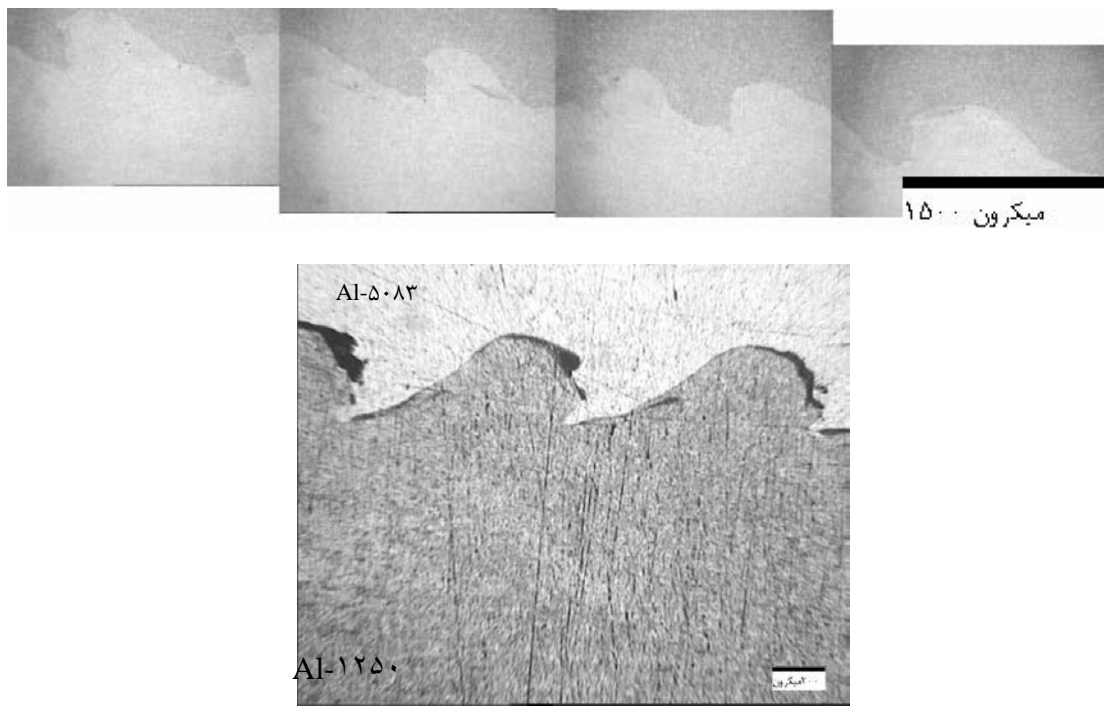
شکل ۶- مقادیر استحکام برشی بر حسب بار انفجاری (الف) آلمینیم ۱۲۵۰ به فولاد دریایی (ب) آلمینیم ۱۲۵۰ با آلمینیم ۵۰۸۶ و مقایسه با حدود استاندارد.



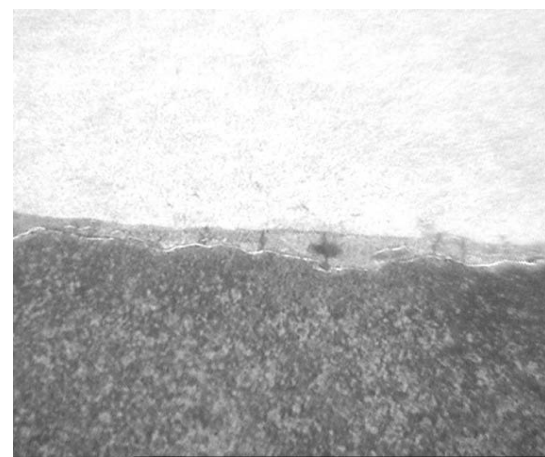
شکل ۷- نتایج حاصل از تست سختی سنگی نمونه های اتصال آلمینیم ۱۲۵۰ با فولاد دریایی.



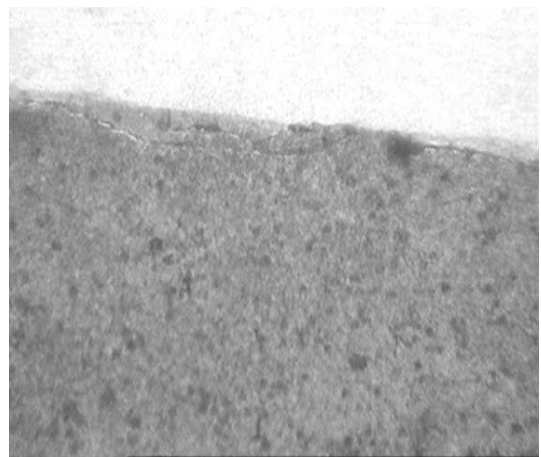
شکل ۸-الف) فصل مشترک نمونه ی سه لایه AAS-۱۹ با ضخامت ماده ی منفجره ۱۵mm، طولی S-Al/S.



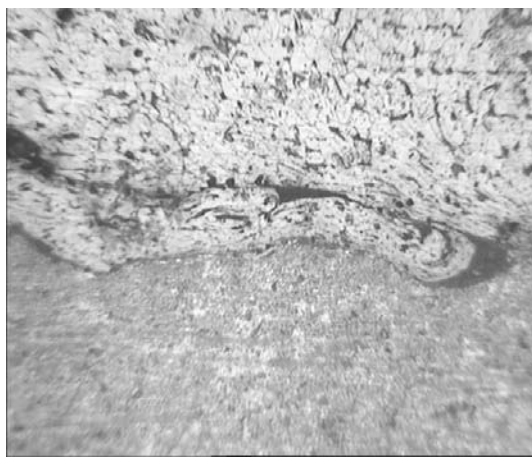
شکل ۸-ب) فصل مشترک نمونه ی AAS-۲۴ با ضخامت ماده ی منفجره ۳۰ mm، طولی Al/St.



ب



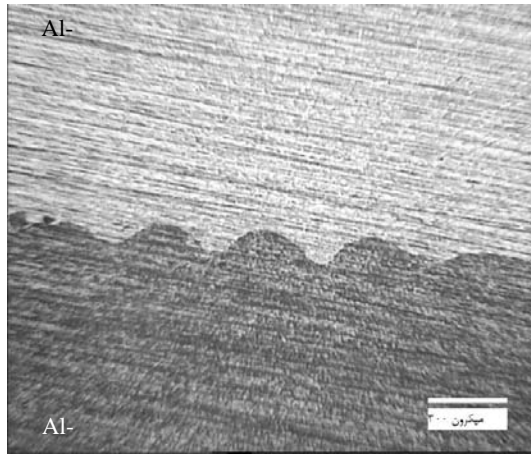
الف



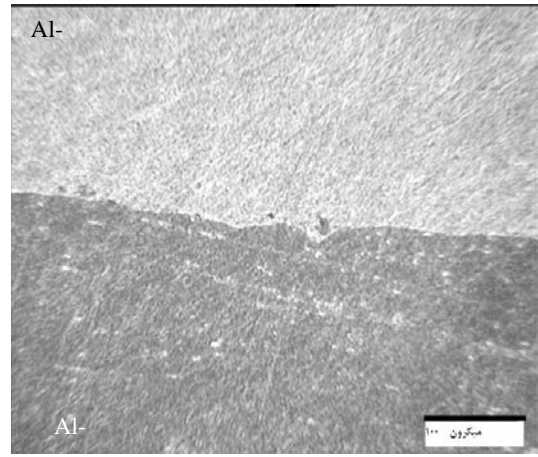
د



ج

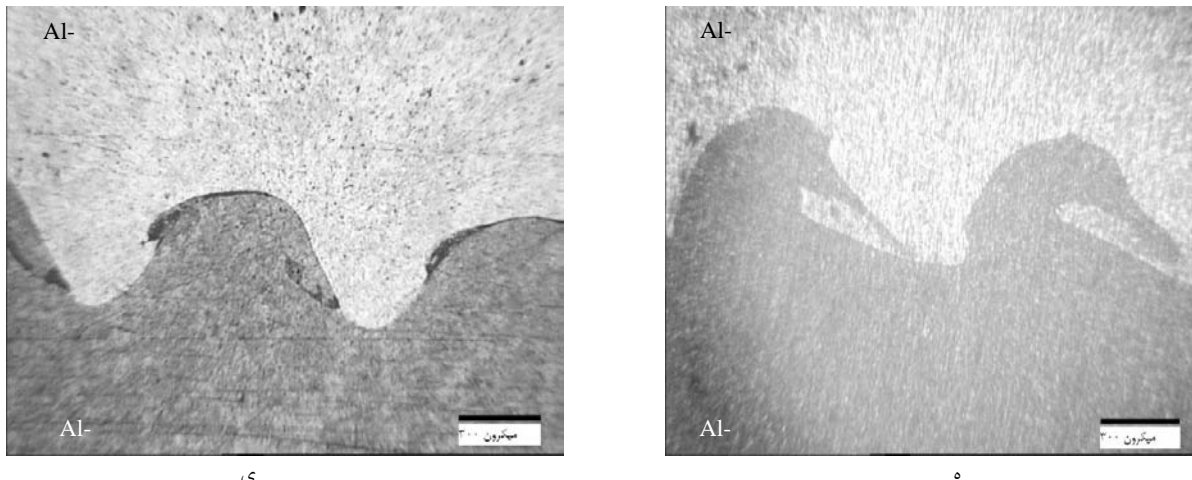


ن



م

شکل ۹- الف) نمونه‌ی طولی آلومینیم AAS-۲۰ بزرگنمایی $1250\times$ فولاد از AAS-۲۰ بزرگنمایی $500\times$ ، ب) نمونه‌ی عرضی آلومینیم $1250\times$ فولاد از AAS-۲۰ بزرگنمایی $200\times$ ، ج) نمونه‌ی طولی آلومینیم $1250\times$ فولاد از AAS-۲۰ بزرگنمایی $200\times$ ، د) نمونه‌ی عرضی آلومینیم $1250\times$ فولاد از AAS-۲۰ بزرگنمایی $200\times$ ، م) نمونه‌ی طولی از آلومینیم $1250\times$ به آلومینیم AAS-۲۰ از $150\times$ بزرگنمایی $50\times$ ، ن) نمونه‌ی عرضی از آلومینیم $1250\times$ به آلومینیم AAS-۲۰ از $200\times$ بزرگنمایی $50\times$



شکل ۹-۵) نمونه طولی آلومینیم ۱۲۵۰ به آلومینیم ۵۰۸۳ از AAS-۲۲ بزرگنمایی X۵۰، ۶) نمونه عرضی آلومینیم ۵۰۸۳ به آلومینیم ۵۰۸۳ از AAS-۲۲ بزرگنمایی X۲۰۰.

که در بعضی تصاویر متالوگرافی دیده می شوند (شکل ۷)، برای جوش، مضر می باشد. موارد بیشینه‌ی سختی موجود در جدول (۴) بیانگر آن است که میزان بیشینه‌ی سختی در کلیه‌ی اتصالات جوشکاری شده، در حقیقت زیر عدد ۳۰۰ ویکرز هستند. آزمایش برش بر اساس استاندارد ASTM-۲۶۴ مطابق با شکل‌های (۴) و (۵)، انجام شده است. نتایج آزمون برش در جدول (۴) آورده شده است. براساس استاندارد نظامی [۱] MIL-۲۴۴۵A، حداقل میزان استحکام برشی طولی لازم برای اتصال آلومینیم به فولاد، ۶۰/۴۹ مگاپاسکال می باشد. در همین رابطه نیز، موسسه‌ی رده بندی لویدز، بر اساس استاندارد ASTM ۲۶۴ میزان استحکام برشی طولی را ۸۹/۵ مگاپاسکال و میزان استحکام برشی عرضی لازم را ۷۵/۴ مگاپاسکال اعلام نموده است [۲]. با توجه به استاندارد ASTM ۲۶۴، نتایج بعضی از آزمایش‌های آلومینیم-۱۲۵۰ با فولاد دریابی که در جدول (۴) آمده است، در حد قابل قبول و حتی بالاتر از آنها می باشد. در حالیکه استحکام تمام نمونه‌ها، به علت بالاتر بودن از استاندارد نظامی (MIL-۲۴۴۵A)، قابل قبول است. در صورتیکه بار انفجاری بیش از حد اعمال شود، دما در محل برخورد، بسیار افزایش می یابد و باعث نزدیک شدن دمای محل برخورد به دمای نقطه‌ی ذوب فلزات برخوردی و درنهایت تشکیل گردابه‌های مذاب می شود. با انجامداد گردابه‌های مذاب، سختی منطقه اتصال به دلیل تشکیل فازهای بین فلزی ترد، افزایش می باشد. همان‌گونه که تصاویر متالوگرافی نشان می دهند، مقدار و حجم گردابه‌های مذاب، کوچک و محدود می باشند.

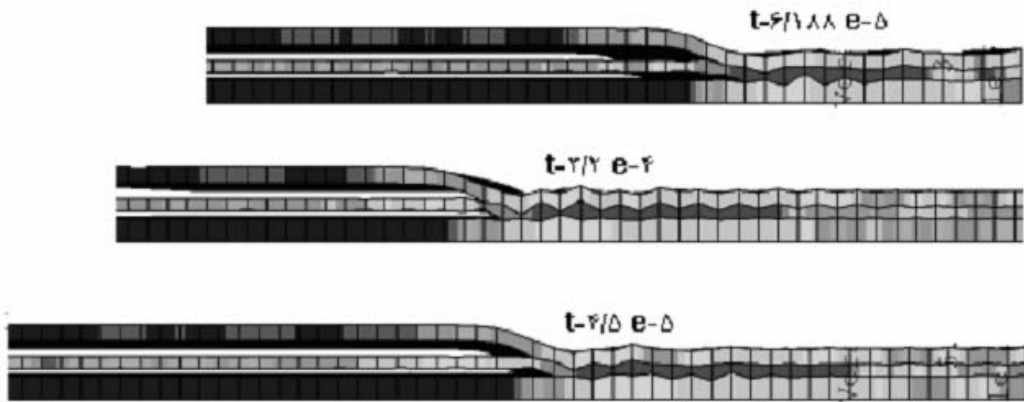
۵. نتایج شبیه سازی

مدل چیدمان هندسه‌ی تخت سه لایه ورقها در این شبیه‌سازی استفاده شده است و تصاویر زیر، نمایش پیشرفت جوشکاری در حالت سه لایه به صورت دو بعدی، مربوط به آزمایش AAS-۱۹ را در سه زمان مختلف نشان می دهد. شماتیک فرآیند جوشکاری برای نمونه شماره‌ی AAS-۱۹، به صورت سه بعدی، در شکل ۱۰، نشان داده شده است.

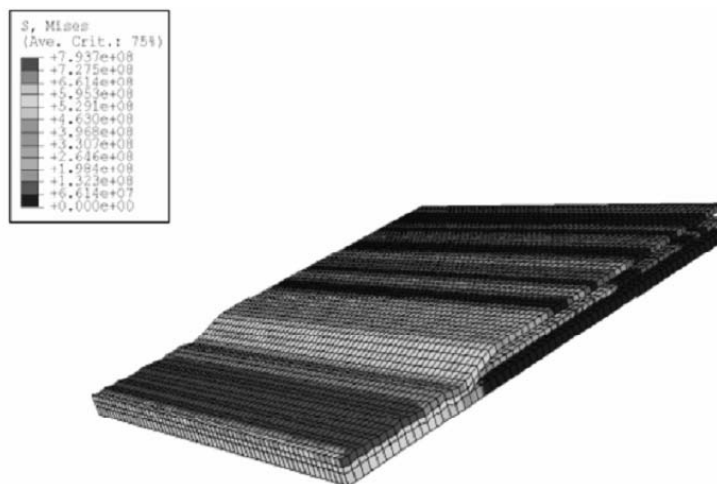
۶. نتایج و بحث

۶-۱- تصاویر متالوگرافی و آزمایش‌های مکانیکی

آزمایش‌های آلتراسونیک کلیه‌ی نمونه‌ها انجام شده حاکی از باند اتصالی مناسب بود. اما در حاشیه‌ی نمونه‌ها به دلیل گیرکردن بعضی از فاصله‌های دهنده‌ها، در بعضی از نمونه‌ها اتصال به انجام نرسیده بود. شکل (۶) نمایش ریز سختی بدست آمده نمونه‌های جوشکاری شده سه لایه آلومینیم ۵۰۸۳، آلومینیم-۱۲۵۰ با فولاد دریابی گردید E می باشد. در آزمایش‌های سختی سنگی، از بار ۲۰۰ گرمی با زمان توقف ۳۰ ثانیه استفاده شده است. نتایج سختی سنگی، بیانگر افزایش سختی در فصل مشترک اتصال می باشد. دلیل افزایش سختی تغییرات ساختار متالورژیکی به علت بروز امواج تنفسی شدید در نقطه‌ی برخورد می باشد. در هنگام برقراری اتصال در صورتی که امواج شوکی شدیدی تولید شود، احتمال بروز فازهای بین فلزی، زیاد شده و با تولید گردابه‌های مذاب، استحکام اتصال کم می شود. تولید گردابه‌ی مذاب



شکل ۱۰- مدل چیدمان دو بعدی سه لایه با هندسه‌ی تخت، برای نمونه‌ی شماره‌ی AAS-۱۹



شکل ۱۱- نمایش جوشکاری انفجاری سه لایه سه بعدی نمونه‌ی شماره‌ی AAS-۱۹، با نرم افزار آباکوس.

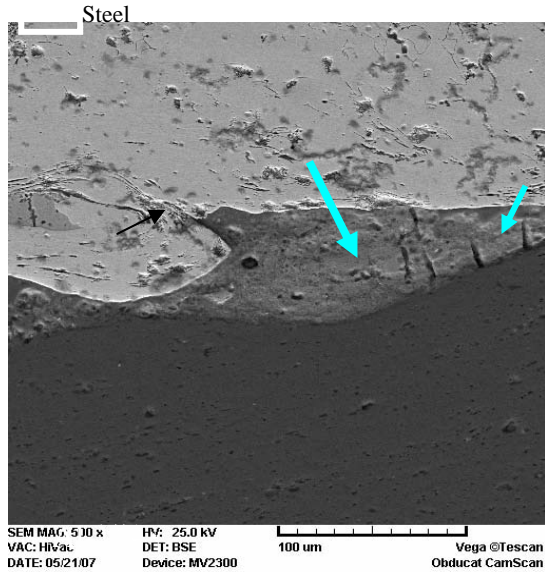
ترتیب مشاهده می شود که با افزایش ضخامت ماده‌ی منفجره، به تدریج تکه‌های مذاب در فصول مشترک بزرگتر می شود. در شکل (۱۱)، یک موج کامل نشان داده شده است، در شروع موج کشیدگی دانه‌های فولاد و لغزش آنها را روی هم می توان مشاهده کرد (پیکان سمت چپ) که موجب پدیده سخت شدن شوکی و یا (Shock Hardening) و افزایش سختی در فصل مشترک می شود. ضخامت این ناحیه، حدود ۶۰ میکرون در قله می باشد. در سمت راست هم پیکانی دیده می شود که میکرو ترکهای در امتداد عمود بر فصل مشترک را نشان می دهد. این میکرو ترکهای، بعلت حضور ترکیبات ترد بین فلزی FeAl₂ اتفاق می افتد. همچنین، مقایسه‌ی شکل های ۸ الف و ج، نشان می دهد که با افزایش فاصله‌ی توقف از ۲ به ۴ میلیمتر، فصل مشترک از حالت صاف به موجی تبدیل می شود.

در فصل مشترک اتصال بین فولاد-آلومینیم، به علت ماهیت ترد ترکیبات بین فلزی تشکیل شده، ترکهای ریزی در فصل مشترک اتصال، ایجاد می شود. تشکیل این ترکیبات بین فلزی، به علت تبدیل انرژی جنبشی حاصل از برخورد دو صفحه در نقطه‌ی برخورد، به گرمای و متعاقب آن ایجاد فرایند ذوب و انجاماد و عدم انحلال آهن و فولاد می باشد. این پدیده، با افزایش انرژی انفجار، مانند نمونه آزمایش‌های AAS-۲۴ تا AAS-۱۹ تشکیل شده و تصاویر حاصل از میکروسکوپ الکترونی فصل مشترک، نیز تأیید کننده‌ی این مطلب می باشد (شکل‌های (۱۱) و (۱۲)). رشد این ترکیبات با افزایش انرژی انفجار به علت ترد بودن ماهیت آنها، سبب افت استحکام اتصال می شود. شکل (۵)، نشان می دهد که استحکام برشی اتصال آلومینیم-۱۲۵۰/فولاد دریایی، با تشکیل ترکیبات بین فلزی ترد، کاهش می یابد. در شکل ۷ الف و ب به

Archive of SID

این ترکها با پیکانهای تیره نشان داده شده است و دال برآفت استحکام برشی در این نمونه ها است. همچنین در این نمونه، شکل ۱۲، سیلان شدید تکه های مذاب و تشکیل ترکیبات ترد بین فلزی FeAl_γ , MnSi_2 و FeAl_γ در ناحیه‌ی تغییر شکل یافته را می‌توان ملاحظه نمود.

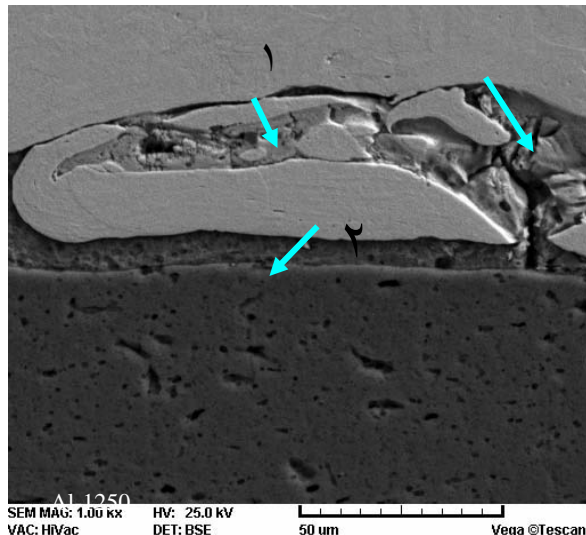
در شکل ۱۲ که جوشکاری با بیشترین ضخامت ماده منفجره است (30 mm) انجام شده است، تکه های مذاب دیده می‌شود. همچنین در این تصویر در لایه بین فصل مشترک ترکهای ریزی مشاهده می‌کنیم که به علت تشکیل ترکیبات ترد بین فلزی می‌باشد که ناشی از انرژی بالای انفجار یا بالا بودن ضخامت ماده منفجره است که در شکل به بیشترین مقدار خود رسیده است.



Element	Weight%
Mg	0/7
Al	58/85
Si	0/54
Cr	0/24
Mn	0/46
Fe	28/5

FeAl γ

شکل ۱۲- تصاویر میکروسکوپ الکترونی روبشی از ساختار شماره AAS-۲۲



Element	Weight%
Al	23/69
Si	2/46
Mn	1/0.7
Fe	65/6

Element	Weight%
Al	75/0.3
Fe	24/97

MnSi $_2$ و FeAl γ (۱) FeAl γ (۲)

شکل ۱۳- تصاویر میکروسکوپ الکترونی روبشی از ساختار شماره AAS-۲۴

است. حداقل سرعت برخورد برای آلومینیم ۵۰۸۳ به آلومینیم ۱۲۵۰ برابر ۳۳۷ متر بر ثانیه، و برای آلومینیم ۱۲۵۰ به فولاد دریابی برابر ۱۷۸ متر بر ثانیه، محاسبه شده است. حداقل زاویه برخورد برای آلومینیم ۵۰۸۳ به آلومینیم ۱۲۵۰ برابر ۸/۸ درجه، و برای آلومینیم ۱۲۵۰ به فولاد دریابی برابر ۸/۴۵ درجه، محاسبه شده است.

مقایسه سرعت های برخورد، در ستونهای ۴ و ۶، در جدول ۵ نشان می دهد که سرعت های پیش بینی شده به کمک شبیه سازی، همه از حداقل سرعت برخورد، بیشتر می باشند. مقایسه زاویه برخورد، در ستونهای ششم و هشتم، در جدول ۵ نشان می دهد که زاویه های برخورد پیش بینی شده به کمک شبیه سازی، همه از حداقل زاویه برخورد بیشتر می باشند و بنابراین می توانند قابل قبول باشند.

اگر مرز پایینی پنجره جوشکاری، مطابق بارابطه Wittman و Deribas [۱۹۱۱]، در نظر گرفته شود، مشاهده می شود که همهی نمونه ها درون منطقه قابل جوشکاری قرار دارند. پس می توان گفت، نتایج شبیه سازی به خوبی با نتایج عملی مطابقت دارد و در منطقه ایمن در پنجره جوشکاری قرار دارد.

در جدول شماره ۵ نتایج شبیه سازی برای آزمایشها با بارهای انفجاری مختلف، نشان داده شده است. در ستون دوم و سوم به ترتیب ضخامت ماده مفجره و مقدار R، برای هر کدام از آزمایش ها، آورده شده است. R نشان دهنده نسبت جرم صفحه در واحد سطح به جرم بار مفجره در واحد سطح که به صورت زیر، تعریف میگردد.

$$R = \frac{m_c}{m_f} \quad (15)$$

بنابراین، با افزایش ضخامت بار انفجاری، نسبت R، افزایش یافته است.

در ستون چهارم و پنجم و ششم، نتایج پیش بینی شبیه سازی برای سرعت برخورد صفحه پرنده، سرعت پیشروی جوشکاری و زاویه برخورد پیش بینی شده، آورده شده است. در اینجا برای به دست آمدن V_p ، مقدار حداکثر سرعت صفحه بعد از برخورد، به عنوان سرعت برخورد در نظر گرفته شده است. ستون هفتم و هشتم، حداقل سرعت برخورد و زاویه برخورد را نشان می دهد. همه این رابطه ها، اثر ضخامت صفحات و دانسیته آن ها را بر سرعت برخورد نشان می دهد. در نتیجه برای بارهای انفجاری متفاوت، مقادیر ثابت

جدول ۵- متغیرهای فرآیند برای نمونه های ۱ تا ۴

حداقل زاویه برخورد (Deribas) (m/s)	حداقل سرعت برخورد (Kowalewskij) (m/s)	زاویه برخورد پیش بینی شده (درجه)	سرعت پیشروی جوش پیش بینی شده (V _p) (m/s)	سرعت برخورد پیش بینی شده (m/s)	ضخامت ماده منفجره (mm)	شماره نمونه
آلومینیم ۱۲۵۰	آلومینیم ۵۰۸۳	آلومینیم ۱۲۵۰	آلومینیم ۵۰۸۳	آلومینیم ۱۲۵۰	آلومینیم ۵۰۸۳	AAS-۱۹
فولاد دریابی	آلومینیم ۱۲۵۰	فولاد دریابی	آلومینیم ۱۲۵۰	فولاد دریابی	آلومینیم ۱۲۵۰	AAS-۲۰
۸/۴۵	۸/۸	۱۷۸	۳۳۷	۱۵	۲۸	۲۴۸۰
۸/۴۵	۸/۸	۱۷۸	۳۳۷	۱۵/۵	۲۸/۵	۲۶۶۱
۸/۴۵	۸/۸	۱۷۸	۳۳۷	۱۶	۲۹	۲۸۵۰
۸/۴۵	۸/۸	۱۷۸	۳۳۷	۹	۲۲	۲۷۲۰

- [۳]. لیاقت، غلامحسین؛ درویزه، ابوالفضل؛ نوری دامغانی، محمد؛ بزرگی مدل سینماتیکی سطوح استوانه ای در فرایند جوشکاری انفجاری استوانه ها، دهمین کنفرانس سالانه مکانیک، ۱۳۸۱، ص ۷۹۳-۸۰.
- [۴]. نوری دامغانی، محمد؛ نادری، غلامعلی؛ درویزه، ابوالفضل؛ بررسی تغییر شکل دینامیکی ورق مستطیلی شکل در جوشکاری انفجاری به روش اجزاء محدود، دومین کنفرانس علمی کاربردی هوا فضا، ۱۳۸۱.
- [۵]. دهقان منشادی، سید محمد؛ "تدوین جوشکاری انفجاری لوله های دو جداره فولاد و آلیاژ برزن"، پایان نامه کارشناسی ارشد، دانشگاه تربیت مدرس، ۱۳۸۵.
- [۶]. زمانی، احسان؛ "مطالعه تجربی و تحلیلی جوشکاری انفجاری لوله های هم محور فولاد ضد زنگ و فولاد کربنی"، پایان نامه کارشناسی ارشد، دانشگاه تربیت مدرس، ۱۳۸۳.
- [7]. Grignon, F.; Benson, D.; Vecchio, K. S.; Meyers, M. A.; "Explosive Welding of Aluminum to Aluminum: Analysis, Computation and Experiments.", Int. J. Imp. Eng. (2004), 30, 1331-1351.
- [8]. Crossland, B.; "Explosive Welding of Metals and Its Application.", Oxford Clarendon Press: London, 1982.
- [9]. ASM Committee on Explosion welding; "Explosion Welding", (1983).
- [10]. Blazynski, T.Z.; "Explosive Welding, Forming and Compaction.", Applied Science publisher: London, 1983.
- [11]. Patterson, R.A.; "Fundamentals of Explosion Welding.", Los Alamos Nat. Lab.(1985), U.S.A.
- [12]. AL-Hassani, S.T.S.; Akbari Mousavi, S.A.A.; "Recent Developments on the Response of Material and Structures to Impact and Explosion.", 9th Ann. Mech. Eng. Conf. (2001), Gilan University.
- [13]. Akbari Mousavi, S.A.A.; Burley, S. J.; AL-Hassani, S.T.S.; "Simulation of Explosive Welding using the Williamsburg Equation of state to Model Low Detonation velocity Explosives.", Int. J. Imp. Eng. (2005), 31, 719-734.
- [14]. Johnson, R. G.; Cook, W. H.; "A Constitutive Model and Data for Metals Subjected to Large Strains, High Strain-Rates and High temperature.", Proc. 7th Int Symp Ball The Hague The Netherlands, (1983), 541-547.
- [۱۵]. نوروزپور، محمد؛ "شبیه سازی عددی و مطالعه تجربی اتصال جوش انفجاری بدنه و سپر استراکچر کشته‌یی"، پایان نامه کارشناسی ارشد، دانشکده مهندسی کشتی سازی و صنایع دریایی، دانشگاه صنعتی امیرکبیر، تیر ماه ۱۳۸۶.

۷. نتیجه گیری

- ۱- استحکام طولی اتصالات جوش شده بطور کلی از استحکام عرضی آنها در کلیه ای آزمایش های استاندارد برشی بعمل آمده، بیشتر بوده و مقدار همگی آنها از حد استاندارد، بالاتر می باشد.
- ۲- با افزایش بار انفجاری، بدليل افزایش تغییر فرم پلاستیک، اندازه ای عدد سختی ویکرز در لایه های مجاور فصل مشترک، افزایش می یابد.
- ۳- نتایج حاصل از آزمایش برش بر روی دو حالت اتصالات غیر هم جنس دو تایی و سه تایی، نشان می دهد که در نسبت های پایین بار انفجاری، بعلت افزایش تغییر فرم پلاستیک در لایه های مجاور فصل مشترک، استحکام برشی اتصال افزایش یافته و در نسبت های بالای ماده منفجره، بعلت افزایش انرژی جوشکاری و تشکیل بسته های انجامدی ترد در فصل مشترک اتصال، افت در استحکام اتصال وجود دارد.
- ۴- آزمایش های برش و آلتراسونیک و ریز سختی بر روی کلیه ای نمونه ها، نمایانگر کیفیت مناسب اتصال می باشد. همچنین بررسی های فلزنگاری نوری و الکترونی انجام گرفته بر روی فصل مشترک اتصال، نمایانگر تشکیل مراکز انجامدی متشکل از ترکیبات ترد بین فلزی در فصل مشترک اتصال بین فولاد دریایی و آلومینیم تجاری می باشد که با افزایش انرژی جوشکاری شاهد رشد در این مراکز می باشیم که سبب افت استحکام برشی در هر دو جهت طولی و عرضی می شود.
- ۵- مقادیر سرعت و زاویه های به دست آمده از نتایج شبیه سازی، برای همه نمونه ها به خوبی با روابط ثئوری مطابقت دارند. به طوری که همه نمونه ها درون منطقه قابل اتصال در پنجه جوش قرار میگیرند.

۸. مراجع

- [1]. Young, G. A. Bunker, J. G.; "Explosion Welded Bi-Metallic Solutions to Dissimilar Metal Joining."; Society of Naval Architecture and Marine Engineer: Houston, Texas, 2004.
- [2]. Trethewey, K. R. Chem, C.; Little, G. T.; "The USE of Explosion – Bounded Transition Joints for the Joining of Aluminum Superstructures to Steel."; Royal Navy Engineering College: Manadon, (2004).